

## 波高減衰率と海底摩擦係数との関連について

京都大学防災研究所 正会員 土屋義人

" " " " ○陳活雄

海底摩擦によって波のエネルギーが消散し、波高が減衰する現象は、浅海波の变形の問題として、波浪予知や設計波の決定という工程的観点から、最近とくに重要視されるようになり、すでにいくつかの研究が進められてきたが、その機構については、いまだ十分に明らかにしていない現状である。従来、底面摩擦による波高減衰率  $E_b$  について、理論値と実験値との比較検討が行なわれてきた。一方現地観測による波高減衰の研究においては、Bretschneider らが定義した海底の摩擦応力に対する関係を用いて、海底摩擦係数  $f$  の推定が行なわれてきた。ここでは、波高減衰率  $E_b$  と海底摩擦係数  $f$  との関連について、層流境界層内のエネルギー損失と立場から、若干の考察を行なうとともに、著者らが行なった波高減衰に関する実験結果にもとづいて検討した結果について述べる。

一般に、波高減衰の理論式を導く場合に用いられる波のエネルギー保存の関係は、底面摩擦によるエネルギー損失率を対象とすれば、つきのようにあらわされる。

$d(C_g E)/dx = -E_{fb}$  ..... (1) ここで、 $E$ : 単位面積当たりの波のエネルギー、 $C_g$ : 群速度、 $E_{fb}$ : 底面摩擦によって単位面積当たり単位時間に消散する平均の損失エネルギー。損失エネルギーとして、線形層流境界層理論にもとづく結果 ( $\bar{E}_{fb}$ ) および Bretschneider らの定義にもとづく結果 ( $\bar{E}_{fb}$ ) をかけば、それがつぎのようになります。

$$\bar{E}_{fb} = (\mu \beta / 2) \{ (\pi H / T) / \sinh kh \}^2 \quad \dots \dots \dots (2), \quad \bar{E}'_{fb} = (4/3\pi) Pf \{ (\pi H / T) / \sinh kh \}^3 \quad \dots \dots \dots (3)$$

ここで、 $\mu$ : 粘性係数、 $\beta = (\pi / VT)^{1/2}$ 、 $V$ : 動粘性係数、 $T$ : 周期、 $H$ : 波高、 $h$ : 水深、 $k = 2\pi/L$ 、 $L$ : 波長、 $P$ : 水の密度、 $f$ : 海底摩擦係数。いま、(2)式と(3)式とを相等しいとおけば、 $f$  に対するつぎの関係が得られます。  $f = (3\pi/\mu)^{1/2} R_{et} \quad \dots \dots \dots (4)$

ここで、 $R_{et}^{1/2} = \sqrt{\mu} \beta H / \sinh kh$ 。 ただし、(2)式と(3)式を(1)式へ代入し、 $x=0$ で波高  $H=H_0$  として積分した結果は、もとよりつぎのようになります。すなはち(2)式は(1)式とおけば、 $H/H_0 = e^{-E_b x/L}$ 、 $E_b = 4\pi^2/\beta L (\sinh 2kh + 2kh)$  ..... (5), (6)、(3)式は(1)式とおけば、 $H/H_0 = 1 - (8/3\pi\sqrt{\mu}) f E_b R_{et}^{1/2} (x/L)$  ..... (7) となります。また(4)式と(5)式と(6)式とから、 $E_b$  と  $f$  との関係を求めると、つぎのようになります。

$$f = (3/32\pi) E_b (H/L)^{-1} \{ \sinh kh (\sinh 2kh + 2kh) \} \quad \dots \dots \dots (8)$$

波高減衰の実験結果を用い、Bretschneider らの方法によって  $f$  の値を算出する場合、エネルギー保存の関係式は、つぎのようになります。

$$B(C_g E_1 - C_g E_2) = l \{ \bar{E}'_{fb} B + 2\bar{E}_{fw} h \} \quad \dots \dots \dots (9), \quad \text{ここで}, \quad B: \text{水槽幅},$$

$E_1$  および  $E_2$ : 波高測定点 1 および 2 における単位面積当たりの波のエネルギー、 $l$ : 波高測定点間の距離、 $\bar{E}_{fw}$ : 両側壁の摩擦によるエネルギー損失であり、著者らがさきに非線形項の影響を考慮して理論解析した結果を適用した。すなはち、

$$2\bar{E}_{fw} = (\mu \beta / kh) (\pi H / T)^2 \coth kh \{ 1 + 1.086 \varepsilon \operatorname{sech} kh \} \quad \dots \dots \dots (10), \quad \varepsilon = (H/L)\pi / \sinh kh.$$

図-1(a) は 二の下にて算出した  $f$  の値と(4)式の理論結果とを比較したものである。実験値は理論値より全般的に大きく、かなり散乱していることがわかる。この理由として、前者に対するは二小まじ著者らが検討してきるものであり、また後者は  $f$  の推定に対して波高測定の精度が大きく関係することを示している。つづく、滑面水槽を用いた著者らの波高減衰の実験によれば、波高は距離とともに指数的に減少していくことが確認されたので、いま波高減衰に指数法則が適用できるものとし、かつ波高については、波高測定区间の中間地点における波高の値をもって、その区間の平均波高とみなして、この区間の距離  $\Delta X$  により  $f$  の値がどのように変化するかを検討してみよう。いま 波高測定点 1, 2 および兩者の中間点における波高を各々  $H_1, H_2$  および  $H_m$  とし、中間点から測定点までの距離を  $\Delta X$  で表せば、波のエネルギー減少に対するつきの表式がえられる。

$$\Delta(CgE)/2\Delta X = (pg/4)CgH_m^2(E_b/L)\sinh 2E_b\Delta X/L/2E_b\Delta X/L \quad (10)$$

したがって、(10)式と(3)式とを等しいとおいて  $f$  に対するつきのような関係がえられる。

$$f/f_0 = \sinh 2E_b\Delta X/L/2E_b\Delta X/L \quad \dots \dots \dots (11)$$

これに、 $f_0 = (3\pi\sqrt{g}/8)R_{st}^{-1/2}$  であり、 $R_{st}$  の中に含まれる波高は  $H_m$  である。この結果によれば、 $(E_b\Delta X/L)$  の値が大きくなるとともに、 $f$  の値はかなり増大することができる。図-2 は、平均波高  $H_m$  を用い、(4)式の関係で算出した  $f$  の実験結果と、(11)式であらわされた理論結果とを比較したものである。この結果から著者らの実験の範囲内では、 $f$  は  $(E_b\Delta X/L)$  の影響は明らかではないか、 $\Delta X/L$  の値が 100 倍程度になると顕著になると考えられる。一方、図-1(b) は、 $H_m$  を用いた場合の  $f$  を図-1(a) と同様  $R_{st}$  との関係で図示したものであるが、図-2 の結果からも明らかのように、 $\Delta X$  による明確な傾向を見出すことはあずかる。以上から明らかなように、海底摩擦係数の推定にあたっては、波高測定の精度が大きく影響するので、これらの実験結果によるとより詳細な検討をするには、適当な誤差評価をしなければならない。最後に、この研究にあたり終始御指導をいたされた岩垣教授に謝意を表明する。この研究が文部省特定研究費による研究の一環であることを付記する。

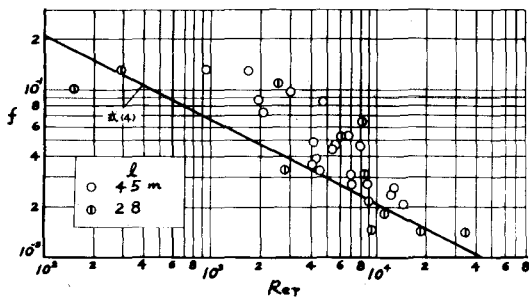


図-1(a) 海底摩擦係数  $f$  と波のレイルズ数  $R_{st}$  との関係  
いま波高減衰に指数法則が適用できるものとし、かつ波高については、波高測定区间の中間地点における波高の値をもって、その区間の平均波高とみなして、この区間の距離  $\Delta X$  により  $f$  の値がどのように変化するかを検討してみよう。いま 波高測定点 1, 2 および兩者の中間点における波高を

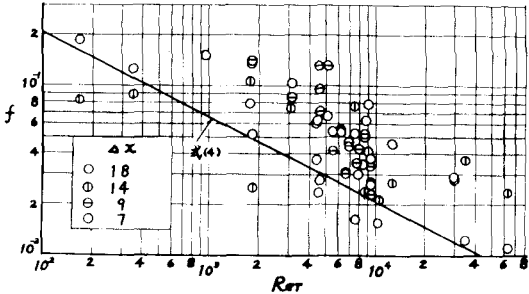


図-1(b) 海底摩擦係数  $f$  と波のレイルズ数  $R_{st}$  との関係

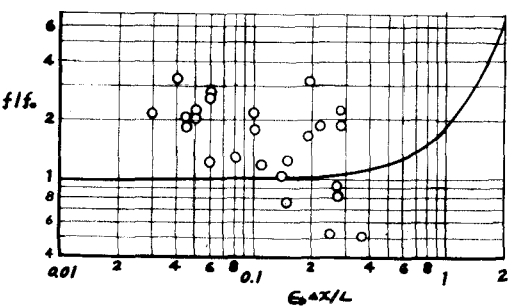


図-2  $f$  における  $E_b\Delta X/L$  の効果

以上から明らかなように、 $\Delta X$  による明確な傾向を見出すことはあずかる。以上から明らかなように、海底摩擦係数の推定にあたっては、波高測定の精度が大きく影響するので、これらの実験結果によるとより詳細な検討をするには、適当な誤差評価をしなければならない。最後に、この研究にあたり終始御指導をいたされた岩垣教授に謝意を表明する。この研究が文部省特定研究費による研究の一環であることを付記する。